Поглощение ИК-излучение структурами SiN_x/Ti/SiN_x

С. В. Козодоев 1,2 , С. А. Демидович 2 , П. И. Гайдук 1

1) Белорусский государственный университет, Минск, Беларусь, e-mail: serikoz12345@gmail.com

Методом Фурье спектроскопии обнаружено, что по сравнению с монослоем SiN_x , структуры $SiN_x/Ti/SiN_x$ с поверхностным микрорельефом более эффективно (на 20-60 %) поглощают инфракрасное (ИК) излучение в диапазоне 14-24 мкм. Показано, что усиление поглощения имеет место для различных топологических рисунков профилированного Ti (рамок, перекрестий). Вместе с тем выявлено более высокое (на 3-18 %) поглощение излучения в диапазоне 16-24 мкм при использовании поверхностных микроструктур в виде перекрестий.

Ключевые слова: плазмонные структуры, поглощение ИК излучения, Фурье спектроскопия.

Absorbtion of IR radiation by structures SiN_x/Ti/SiN_x

S. V. Kozodoev^{1, 2)}, S. A. Demidovich²⁾, P. I. Gaiduk¹⁾

1) Belarusian State University, Minsk, Belarus, e-mail: serikoz12345@gmail.com

²⁾ OJSC «INTEGRAL» – «INTEGRAL» Holding Managing Company, Minsk, Belarus

It is found by Fourier spectroscopy that, compared with the SiN_x monolayer, SiN_x /Ti/ SiN_x structures with a surface microrelief absorb infrared (IR) radiation in the range of $14-24~\mu m$ more efficiently (by 20-60~%). It is shown that an increase in absorption occurs for various topological patterns of profiled Ti (frames, crosshairs). At the same time, a higher (by 3-18~%) absorption of radiation in the range of $16-24~\mu m$ was revealed when using surface microstructures in the form of crosshairs.

Keywords: plasmonic structures, IR absorption, Fourier spectroscopy

Введение

Для современных инфракрасных сенсоров ключевое значение имеет высокий уровень поглощения ИК-излучения [1]. Одним из путей его повышения является создание профилированных структур с металлическими микро- и наноэлементами внутри диэлектрика [2]. Их преимущество заключается в возбуждении плазмонных резонансов — коллективных колебаний электронов в металле, которые усиливают поглощение за счет концентрации электромагнитного поля на границе металла и диэлектрика [3]. Спектр поглощения таких структур можно тонко настраивать, меняя геометрию и расположение металлических элементов

В ходе работы были сформированы профилированные структуры $SiN_x/Ti/SiN_x$ и исследовано влияние Ti элементов на поглощение UK-излучения в диапазоне 8-24 мкм.

²⁾ ОАО «Интеграл» - управляющая компания холдинга «Интеграл», Минск, Беларусь

1. Материалы и методы

На рис. 1 представлена схема сформированных структур. Основой служили кремниевые пластины с алюминиевым зеркальным слоем (100 нм). Для имитации зазора в пикселе микроболометра был нанесён полиимидный слой, который после отжига при 350 °C имел толщину 2,5 мкм. Поверх полиимида методом плазмохимического осаждения (ПХО) был нанесён нижний слой SiN_x толщиной H=50 нм.

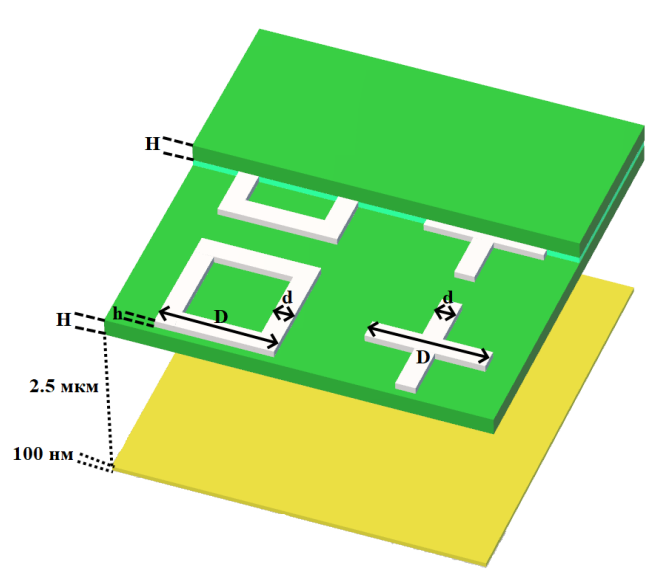


Рис. 1. Схема исследованных структур

Далее, с помощью тронно-лучевого напыления взрывной фотолитографии, были сформированы титановые элементы (квадратные рамки и перекрестия) размером D = 6 мкм, шириной стенки d = 1 мкм и толшиной t = 50 нм. Затем на эти элементы был осаждён верхний слой SiN_x толщиной 100 нм. В контрольных структурах без Ті-элементов общая толщина слоя SiN_x на полиимиде составляла 150 нм. Измерение спектров поглощения проводилось методом Фурье-спектроскопии.

2. Результаты и обсуждение

На рис. 2 приведены спектры поглощения структур с монослоем SiN_x и профилированных структур $SiN_x/Ti/SiN_x$ в диапазоне 8-24 мкм. На вставке рис. 2 показано изображение отдельных структуры $SiN_x/Ti/SiN_x$, полученные методом атомно силовой микроскопии (ACM).

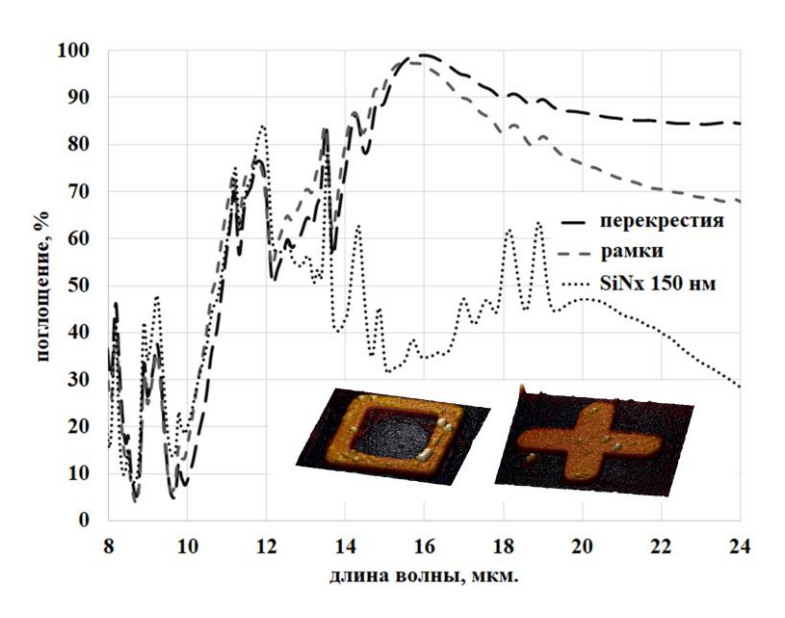


Рис. 2. Спектры поглощения структур

Представленные спектры показывают более высокий уровень поглощения для профилированных структур с Ti элементами в сравнении с монослоем SiN_x в диапазоне 14-24 мкм.

Видно, что внедрение рамок из Ті приводит к росту поглощения на 20-60 %, при этом наибольшее поглощение с интенсивностью $\geq 80\%$ происходит в диапазоне 14-18.5 мкм.

Показано, что структуры типа перекрестие обладают на 3-18 % большим уровнем поглощения чем рамочные структуры в диапазоне 16-24 мкм.

Мы полагаем, что отдельные узкие пики поглощения в диапазоне 8-14 мкм возникают за счёт собственного поглощения излучения в полиимиде, кроме диапазона 11-12.1 мкм, в котором высокое поглощение излучения может быть связано с собственным поглощением в SiN_x [4].

Отдельно следует отметить некоторое расхождение теоретически рассчитанных спектров поглощения ИК излучения профилированными структурами, представленных в нашей работе [5] со спектрами, полученными в настоящей работе. Такое расхождение, в частности, может быть связано с тем, что при проведении компьютерного моделирования между слоем $Si3N_4/Ti/Si3N_4$ и Al зеркалом мы использовали вакуумный зазор, тогда как в экспериментальных образцах зазор был заполнен полиимидом, что обусловлено техническими возможностями их изготовления. В свою очередь, высокий (>1) показатель преломления полиимида приводит к увеличению оптического пути излучения что, очевидно, сопровождается смещением области интенсивного поглощения излучения с 8.5-13 мкм до 14-18.5 мкм.

Заключение

Таким образом, полученные результаты позволяют сделать вывод о перспективности использования профилированных структур SiNx/Ti/SiNx для изготовления высокоэффективных ИК-поглощающих элементов. Показано, что размещение микроструктурированных Тi элементов внутри слоя SiNx позволяет увеличивать интенсивность поглощения ИК излучения по сравнению с монослоем SiNx такой же толщины в диапазоне 14-24 мкм на 30-60 %. Установлено, что структуры с топологическим элементом в виде перекрестия поглощают ИК-излучение в диапазоне 16-24 мкм на 5-18 % больше, чем рамки.

Библиографические ссылки

- 1. *Lyu, Xiaochuan*. Recent Progress on Infrared Detectors: Materials and Applications // Highlights in Science, Engineering and Technology. 2022. Vol. 27. P. 191–200.
- 2. Broadband absorption enhancement in an uncooled microbolometer infrared detector / Basak Kebapci [et al.] // Proceedings of SPIE The International Society for Optical Engineering. 2014. Vol. 9070.
- 3. A plasmonically enhanced pixel structure for uncooled microbolometer detectors / O. Erturk [et al.] // Proc. of SPIE. 2013. Vol. 8704. N 87041E.
- 4. Mid-infrared optical properties of thin films of aluminum oxide, titanium dioxide, silicon dioxide, aluminum nitride, and silicon nitride / J. Kischkat [et al.] // Appl Opt. 2012. Vol. 51, N 28. P. 6789–6798.
- 5. Влияние типа металла и толщины слоев на поглощение оптического излучения профилированными структурами Si₃N₄/Me/Si₃N₄ / C. В. Козодоев [и др.] // Журнал прикладной спектроскопии. 2025. Т. 92. № 2. С 187–192.